

クリープ・ラプチャ―試験前後の試験片に認められる 組織ならびに炭化物変化に関する研究*

(過熱器管、再熱器管などに使用される高温用 321 型不銹鋼に関する研究—II)

西原 守**・平野 坦**・山本 俊二**・吉田 清**

Study on Structures and Carbides Changes Observed in Each Specimen Before and After Creep-Rupture Test

(Study on type 321 stainless steel intended for high-temperature
service such as for superheater and reheater tubes—II)

Mamoru Nishihara, Hiroshi Hirano, Shunji Yamamoto and Kiyoshi Yoshida

Synopsis:

As evident on the data given in our first report, the heat treatment before creep-rupture test of type 321 stainless steel presented some remarkable results on the creep rupture strength.

In this study carbide changes observed in specimens before and after creep-rupture test were studied by various kinds of testing methods such as high-resolution electron-diffraction and select electron-diffraction, etc. Carbides extracted from each specimen by chemical procedures were tested by X-ray diffraction.

Carbides precipitated in all the specimens quenched from the temperature range of 1300~800°C before creep-rupture test were identified as titanium carbide and carbides of other kinds. The lattice constants of titanium carbide extracted had different values depending upon each different quenching temperature.

I. 緒 言

第1報において 321 型不銹鋼は試験前の熱処理による TiC のオーステナイトに対する溶解または析出がクリープ・ラプチャ―強度に対していちじるしい影響を与えることについて述べた。かかる現象は 321 型不銹鋼についてのみ認められる独自なものではなく 316 型、347 型不銹鋼などにおいても各鋼種固有の炭化物生成元素の特性に応じて 321 型とは異つた特徴ある変化を示すにつけても著者らは確認している。例えば 347 型不銹鋼は 1300°C × 2 h W.Q. 800°C × 8 h W.Q. の処理によりラプチャ―強度がいちじるしく向上する。本報においては各供試材のクリープ試験前後における炭化物および組織の変化を電子顕微鏡、X線分析、光学顕微鏡などにより調査し、第1報に述べた Cr 炭化物、TiC の析出状況などを実際に確認して 2, 3 の検討を加えた。

II. 供 試 材

第1報におけるクリープ試験前後の各試料を供試材とした。

III. 実 験 方 法

第1報において 900~1300°C の間における TiC の挙動について化学分析により検討したが高温よりの水冷材すなわちクリープ試験前、およびクリープ試験後における TiC の析出状況その他について確認しておく必要がある。したがつて研究方法としては全視野高分解能電子回折制限視野電子回折、X 線回折などを併用した。電子回折は電圧により波長が変動しやすく、かつ写真撮影を行なつて解析するために特性 X 線を使用し Goniometer を使用する X-ray diffractometer による X 線解析に比し精度はかなり低下するけれども、C extraction replica により微細な炭化物を抽出し組織中における析出状況、制限視野電子回折による析出物の確定、全視野高分解能電子回折による主たる析出物の解析が可能であるなどの利点を有する。したがつて本研究においてはかかる見地から電子顕微鏡を使用した。C extraction rep-

* 昭和 34 年 4 月および 11 月日本会講演大会にて発表

** 神戸製鋼所研究部

lica 法による試料作製時の腐蝕には電解法により 10% 塩酸アルコール溶液を使用した。標準物質には金箔を使用した。析出炭化物をさらに高精度の測定により確認するためにクリープ試験前後の供試材より炭化物を (1+4) HCl を使用し水素気流中で電解して抽出した残渣と、試料 30 g を (1+1) HCl にて煮沸溶解してえた残渣との両者につき X-ray diffractometer により解析したが TiC はきわめて安定なる炭化物であるためか両者の場合とも測定結果は良好な一致を示した。

IV. クリープ破断試験前後の代表的電子顕微鏡組織

Photo. 1 に大気中熔解材および真空中熔解材の代表的なクリープ試験前後の組織変化を示した。

個々の析出物については後述する制限視野電子回折結果を参照されたい。

V. 高分解能電子回折、制限視野電子回折結果

オーステナイト均一相のみからなる EA, VA 材のクリープ・ラップチャーティー試験前後の試料につき行なった高分解能および制限視野電子回折結果を Table 1 に示した。EA は 1300°C W.Q. の高温からの熱処理を行なつたためと Ti/C=3 で小であつたために TiC がほとんど固溶し不鮮明な回折環しかえられなかつたが、一応解析可能であつた。Table 1 に示した析出物を示す回折環以外に所属不明の回折環も各試料につき認められた。高分解能電子回折により EA~E8A, VA~V4A に至るクリープ試験前の全試料に TiC の析出が

認められた。クリープ破断後の試験片には TiC 以外に Cr₂₃C₆ その他の Cr 炭化物の析出が認められた。1300°C×2h W.Q., 800°C×8h W.Q. の処理を行なつた試験材にはクリープ試験前に Cr₂₃C₆ の析出が認められた。Photo. 2, 3, 4 におのおの代表的な全視野高分解能電子回折および制限視野電子回折写真を示した。

VI. X線回折結果

Ⅲ項に述べたごとき方法により X-ray diffractometer を使用して析出せる TiC を主とする炭化物の X 線分析を行なつた。分析結果を Table 2 に示した。Table 2 に示したごとく EA~E8A, VA~V4A 各試料とも TiC 以外の回折環が認められたが解析不能であつた。各温度にて析出せる TiC の回折環に対し TiC は食塩型の立方晶であるから $d = \frac{a}{\sqrt{h^2 + k^2 + l^2}}$ なる関係を利用して (100) 面間の格子常数を求めた。Table 2 に示した値は測定時の X 線の入射角 θ における測定誤差を $|\Delta\theta| = 0.02^\circ$ とし $\Delta a/a = -\cot\theta|\Delta\theta|$ なる関係により補正を行なつた後、算出した値である。321 型不鏽鋼中に析出する TiC の C/Ti 比は Ehrlich の data と比較すれば atomic ratio で約 0.5~1 の範囲におよんでいる。Table 2 において VA~V4A は真空熔解材であり含有窒素量がきわめて低いので 321 型不鏽鋼中に各温度で析出する TiC の標準的な格子常数を考える。大気中熔解材は窒素含有量が高いにもかかわらず各熱処理に対応する試料中に析出した TiC の格子常数は真空中および大気中熔解材ともよく一致する点は興味

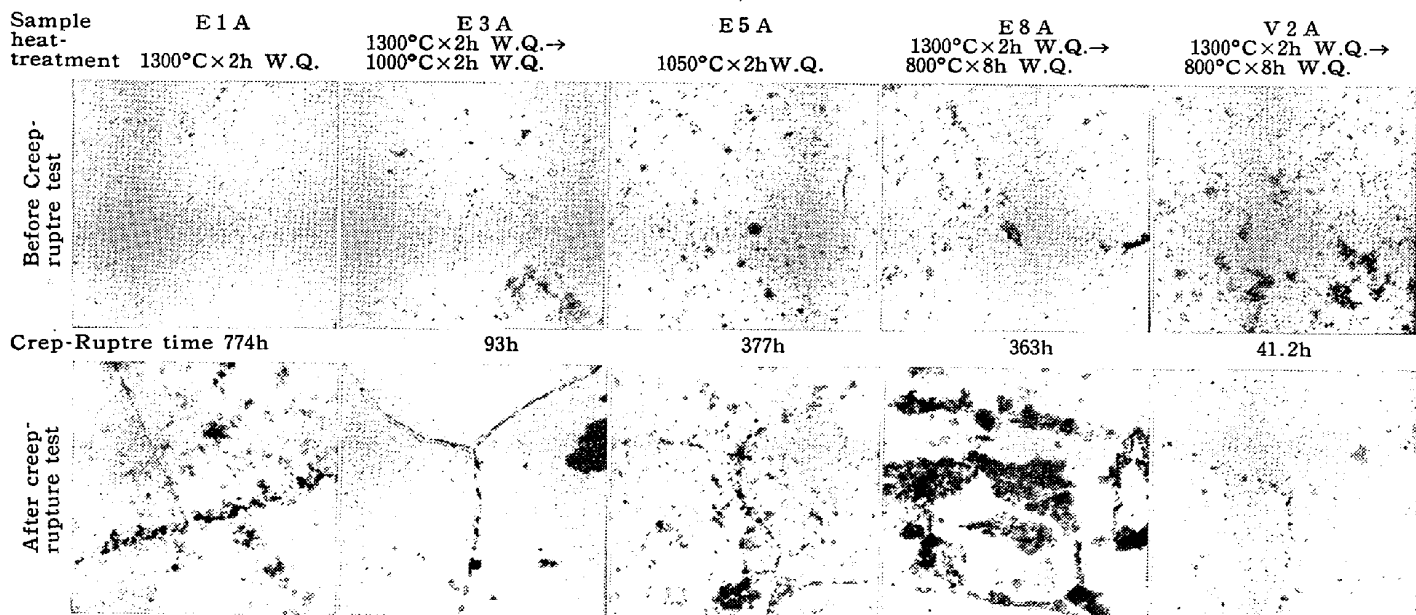


Photo. 1. The changes of the electron-microscopic structures observed before and after creep-rupture tests.

×2000 (3/5)

Sample E 3 A (Before creep test)
heat-treatment $1300^{\circ}\text{C} \times 2\text{h}$ W.Q.
results of analysis $1000^{\circ}\text{C} \times 2\text{h}$ W.Q
TiC

V-2 A (After creep test)
 $1300^{\circ}\text{C} \times 2\text{h}$ W.Q. →
 $1000^{\circ}\text{C} \times 2\text{h}$ W.Q
TiC

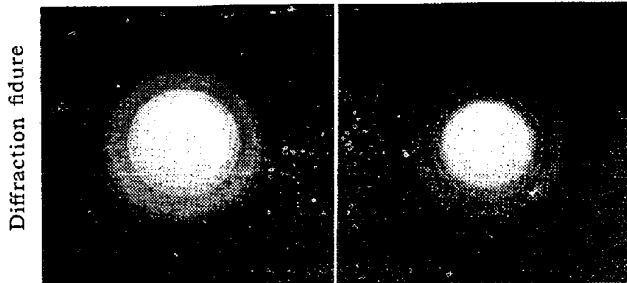


Photo. 2. High-resolution electron-diffraction.

が認められる。Fig. 1 に Ehrlich²⁾により求められた C/Ti atomic ratio の変化による格子常数の变化を示した。

VII. 実験結果

以上の実験の結果つぎの結論を得た。

1) 全視野高分解能電子回折および制限視野電子回折

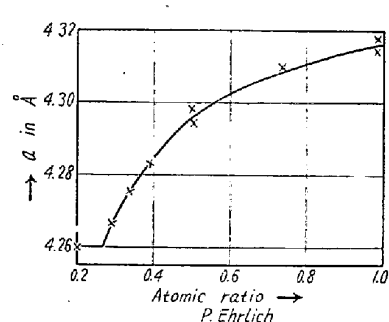


Fig. 1. Change of lattice constant of TiC phase due to C content.

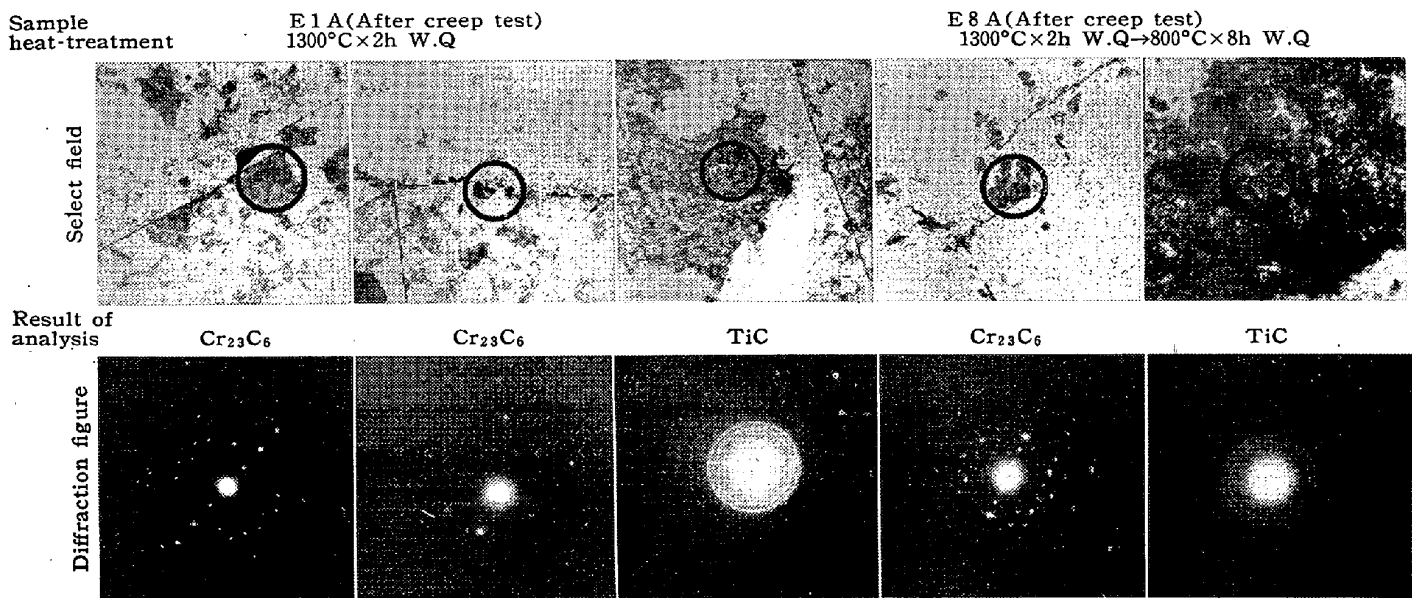
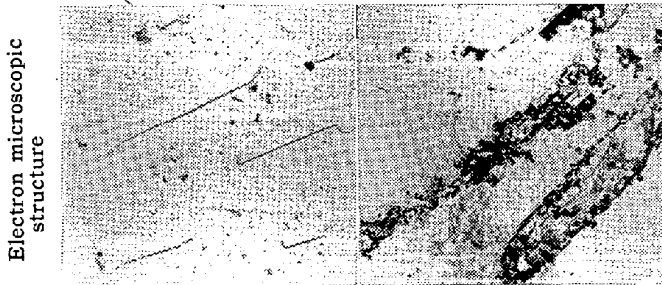


Photo. 3 Select electron-diffraction.

Heat treatment testing condition
creep rupture time
hysteresis

$1100^{\circ}\text{C} \times 1\text{h}$ W.Q.
 $550^{\circ}\text{C} 22\text{kg/mm}^2$
1221h



Before creep rupture test After creep rupture test
×2000 (2/3) ×2300 (2/3)
observed in specimens containing a lot of ferrite before
and after creep rupture test.

Photo. 4. The changes of electron-microscopic structures.

深い。すなわち $1000^{\circ}\text{C} \sim 1050^{\circ}\text{C}$ において析出する TiC の格子常数は最も大であり C/Ti 比で 1 に近く 1300°C よりの水冷材および 800°C で析出した TiC の格子常数は小さく C/Ti 比は 1 よりかなり小であること

により TiC, Cr_{23}C_6 , などの析出を確認した。その結果クリープ試験前における析出物は TiC が主体となしておりクリープ試験後においては TiC, Cr_{23}C_6 などが $\text{Ti}/\text{C}=3$ $\text{Ti}/\text{C}=8$ の両供試材に析出していることが認められた。

2) 真空熔解材 ($\text{Ti}/\text{C}=8$) のクリープ試験前後の供試材より炭化物を抽出し X ray diffractometer により TiC の格子常数を測定した結果、321 中に析出する TiC は Ehrlich の data と比較すれば C/Ti=0.5~1 の範囲にわたっており、 $1050^{\circ}\text{C} \sim 1000^{\circ}\text{C}$ の温度範囲にて析出する TiC の格子常数が最も大であり 1300°C および 800°C 以下の低温で析出した TiC の格子常数は小で C/Ti 比の低いことが認められた。

3) フェライトを多量に含む場合にはクリープ試験過程においてフェライト中に多数の Cr_{23}C_6 が $\text{Ti}/\text{C}=10$ であるにかかわらず析出することが認められた。

4) $1300^{\circ}\text{C} \times 2\text{h}$ W.Q. $1000^{\circ}\text{C} \times 2\text{h}$ W.Q. の処理を行なつた E3A のクリープ試験前の電子顕微鏡組織に

Table 1. Results of electron-diffraction for specimens before and after creep-rupture tests.

Sample No.	Heat treatment	Time of sampling	High resolution electron diffraction	Select electron-diffraction
E 1 A	1300°C × 2h W.Q "	Before creep test After "	TiC	—
E 3 A	1300°C × 2h W.Q → 1000°C × 2h W.Q "	Before "	TiC	TiC, Cr ₂₃ C ₆
		After "	TiC	TiC, Cr ₂₃ C ₆ , Cr ₃ C ₂
E 5 A	1050°C × 2h W.Q "	Before "	TiC	TiC, Cr ₂₃ C ₆ , Cr ₃ C ₂
		After "	TiC	Cr ₇ C ₃
E 8 A	1300°C × 2h W.Q → 800°C × 8h W.Q "	Before "	TiC	TiC, Cr ₂₃ C ₆ , Cr ₃ C ₂
		After "	TiC, Cr ₂₃ C ₆	—
		Before "	TiC	TiC, Cr ₂₃ C ₆ , Cr ₃ C ₂
V 1 A	1300°C × 2h W.Q "	Before " After "	TiC	—
V 2 A	1300°C × 2h W.Q → 1000°C × 2h W.Q "	Before "	TiC	—
		After "	TiC	TiC, Cr ₂₃ C ₆ , Cr ₃ C ₂
V 3 A	1050°C × 2h W.Q "	Before "	TiC	—
		After "	TiC, Cr ₃ C ₂	—
V 4 A	1300°C × 2h W.Q → 800°C × 8h W.Q "	Before "	TiC, Cr ₃ C ₂	—
		After "	TiC, Cr ₂₃ C ₆ , Cr ₃ C ₂	—
		Before "	TiC, Cr ₂₃ C ₆ , Cr ₃ C ₂	—

Table 2. Lattice constants of TiC precipitated in specimens measured by X-ray diffraction.

Sample No.	Heat treatment	Time of sampling	Precipitated carbide	Lattice constant(Å)
E 1 A	1300°C × 2h W.Q "	Before testing	TiC	4.307
		After "	"	4.299
E 3 A	1300°C × 2h W.Q → 1000°C × 2h W.Q "	Before "	"	4.325
		After "	"	4.323
E 5 A	1050°C × 2h W.Q "	Before "	"	4.327
		After "	"	4.325
E 8 A	1300°C × 2h W.Q → 800°C × 8h W.Q "	Before "	"	4.325
		After "	"	4.296
		Before "	"	4.287
V 1 A	1300°C × 2h W.Q "	Before "	"	4.311
V 2 A	1300°C × 2h W.Q → 1000°C × 2h W.Q "	After "	"	4.286
		Before "	"	4.320
V 3 A	1050°C × 2h W.Q "	After "	"	4.320
		Before "	"	4.329
V 4 A	1300°C × 2h W.Q → 800°C × 8h W.Q "	After "	"	4.331
		Before "	"	4.292
		After "	"	4.291

は TiC と思われる析出物が粒内のみならず粒界に析出していることが認められた。(昭和 34 年 9 月寄稿)

文 献

1) Klug, Alexander X-ray Diffraction Proce-

dure (1954) p. 441

2) P. Ehrlich: Z. anorg. Chemie. 259 (1949)

1 p. 41